

ห้องสมุดงานวิจัย สำนักงานคณะกรรมการการวิจัยแห่งชาติ



203320



การโคsexpression ของขั้นตอนที่เกี่ยวกับการสังเคราะห์สารที่

พบในราดีโอเชียโนบอร์กใน *Escherichia coli*

COEXPRESSION OF GENES INVOLVED IN GERANYLGERANIOL
BIOSYNTHETIC PATHWAY IN *ESCHERICHIA COLI*

นายนิรุณย์ ก้าวเดช

วิทยานิพนธ์ปริญญาโทสาขาวิชาระบบทดลองที่

มหาวิทยาลัยธรรมศาสตร์

พ.ศ. ๒๕๕๓

600257014

ห้องสมุดงานวิจัย สำนักงานคณะกรรมการการอุดมศึกษา



การแสดงออกร่วมของยีนที่เกี่ยวข้องในวิถีชีวสังเคราะห์

ของเจอราโนลิเจอราโน้ออลain *Escherichia coli*

**COEXPRESSION OF GENES INVOLVED IN GERANYLGERANIOL
BIOSYNTHETIC PATHWAY IN *ESCHERICHIA COLI***



นายอนุวัชกิจ กล้ารักษ์

วิทยานิพนธ์ปริญญาวิทยาศาสตรมหาบัณฑิต
มหาวิทยาลัยขอนแก่น

พ.ศ. 2553

การแสดงออกร่วมของยีนที่เกี่ยวข้องในวิธีชีวสังเคราะห์
ของเจอรานิคลเจอราโนอลใน *Escherichia coli*

นายอนุวัชกิจ กล้ารักษ์

วิทยานิพนธ์นี้เป็นส่วนหนึ่งของการศึกษาตามหลักสูตรปริญญาวิทยาศาสตรมหาบัณฑิต
สาขาวิชาเคมีและผลิตภัณฑ์ธรรมชาติ
บัณฑิตวิทยาลัย มหาวิทยาลัยขอนแก่น

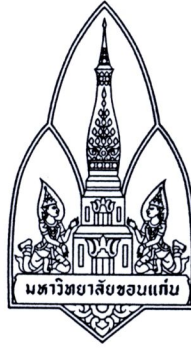
พ.ศ. 2553

**COEXPRESSION OF GENES INVOLVED IN GERANYLGERANIOL
BIOSYNTHETIC PATHWAY IN *ESCHERICHIA COLI***

MR. ANUWATCHAKIJ KLAMRAK

**A THESIS SUBMITTED IN PARTIAL FULFILMENT OF THE REQUIRMENTS
FOR THE DEGREE OF MASTER OF SCIENCE
IN PHARMACEUTICAL CHEMISTRY AND NATURAL PRODUCTS
GRADUATE SCHOOL KHON KAEN UNIVERSITY**

2010



ใบรับรองวิทยานิพนธ์
มหาวิทยาลัยขอนแก่น
หลักสูตร
วิทยาศาสตรมหาบัณฑิต
สาขาวิชาเภสัชเคมีและผลิตภัณฑ์ธรรมชาติ

ชื่อวิทยานิพนธ์: การแสดงออกร่วมของยีนที่เกี่ยวข้องในวิถีชีวสังเคราะห์ของ

เจอรานิลเจอรานิโอลใน *Escherichia coli*

ชื่อผู้ทำวิทยานิพนธ์: นายอนุวัชกิจ กล้ารักษ์

คณะกรรมการสอบวิทยานิพนธ์: รศ. ดร. วรารณ์ ภูตะฉุน

ประธานกรรมการ

รศ. ดร. วันชัย ดีเอกนามกุล

กรรมการ

พศ. ดร. วรพรรณ ลิทธิถาวร

กรรมการ

คร. นาฏศรี นวลแก้ว

กรรมการ

อาจารย์ที่ปรึกษาวิทยานิพนธ์:

..... อาจารย์ที่ปรึกษา

(คร. นาฏศรี นวลแก้ว)

..... อาจารย์ที่ปรึกษาร่วม

(รองศาสตราจารย์ ดร. วันชัย ดีเอกนามกุล)

..... อาจารย์ที่ปรึกษาร่วม

(คร. สุทธิพา ランพงศ์พิพัฒน์)

(รองศาสตราจารย์ ดร. คำป่าง แม่นมาศย์)

(รองศาสตราจารย์ ดร. บังอร ศรีพานิชกุลชัย)

คณบดีบัณฑิตวิทยาลัย

คณบดีคณะเภสัชศาสตร์

ลิขสิทธิ์ของมหาวิทยาลัยขอนแก่น

อนุวัชกิจ กํารการที่ 2553. การแสดงออกร่วมของยีนที่เกี่ยวข้องในวิถีชีวสังเคราะห์ของเจอราโนลเจอราโนอลใน *Escherichia coli*. วิทยานิพนธ์ปริญญาวิทยาศาสตรบัณฑิตสาขาวิชาเคมีและผลิตภัณฑ์ธรรมชาติ บัณฑิตวิทยาลัย มหาวิทยาลัยขอนแก่น.
อาจารย์ที่ปรึกษาวิทยานิพนธ์: ดร.นฤศิริ นวลแก้ว, ดร.สุพิทา ชนพงศ์พิพัฒน์,
รศ. ดร.วันชัย ดีเอกนามกุล

บทคัดย่อ

203320

เจอราโนลเจอราโนอล (GGOH) เป็นสารในกลุ่มพรินิลแอลกอฮอล์มีฤทธิ์ในการกระตุ้นให้เกิดกระบวนการ apoptosis ในเซลล์มะเร็งหลำばชนิด และเป็นสารตัวกลางสำคัญวิถีชีวสังเคราะห์ของเปลาโนทอล ซึ่งเป็นยาரักษาแพลงในระบบอาหารที่ได้จากเปล้าน้อย (*Croton stellatopilosus* Ohba) ปัจจุบันการสังเคราะห์ GGOH ด้วยกระบวนการทางเคมีมักพบปัญหาสำคัญคือผลิตภัณฑ์ที่ได้เกิดเป็นของผสม racemic mixture และการแสดงออกของยีน prenyl diphosphate phosphatase (PDPase) ใน *E. coli* BL21(DE3)RIL ไม่สามารถเพิ่มระดับการสร้าง GGOH ได้ จึงได้นำแนวทางการทำวิศวกรรมเมทานอลิกมาเพิ่มระดับการสร้าง GGOH ใน *E. coli* BL21(DE3)RIPL โดยที่วิถีชีวสังเคราะห์ของ GGOH เกี่ยวข้องกับเอนไซม์สำคัญ 2 ชนิดคือ geranylgeranyl diphosphate synthase (GGPPS) ซึ่งรับปฏิกริยาการเปลี่ยน FPP เป็น GGPP จากนั้นเอนไซม์ prenyl diphosphate phosphatase (PDPase) เข้ามายังตัวเดียวกัน ได้เป็น GGOH ดังนั้นในงานวิจัยครั้งนี้ เป็นการสร้างพลาสมิด pETDuet-1 ที่การแทรกสอดของยีน GGPPS และ PDPase และตรวจสอบการผลิต GGOH จากริคอมบิแนนท์ *E. coli* ด้วยเทคนิค HPLC โดยเปรียบเทียบจากโคลนที่มีการแสดงออกร่วมกับโคลนที่มีการแสดงออกของยีนเดียว จากการตรวจสอบด้วยเทคนิค SDS-PAGE พบว่าโคลนที่ได้รับพลาสมิด pETDuet/GGPPS/PDPase และพลาสมิด pETDuet/GGPPS มีการผลิตโปรตีนของยีน GGPPS ที่ขนาด 33 kDa แต่ไม่พบการแสดงออกของยีน PDPase จากการศึกษาลักษณะทางฟีโนไทป์โดยดูความสามารถในการผลิต GGOH พบร่องรอย GGOH ในริคอมบิแนนท์ *E. coli* ที่ได้รับพลาสมิด pETDuet/GGPPS/PDPase และ pETDuet/GGPPS แต่กลับไม่พบการสะสม GGOH ในโคลนที่ได้รับการถ่ายโอนยีน GGPPS เพียงอย่างเดียว ในขณะที่การเติมกลีเซอรอลที่ความเข้มข้น 2% ลงในอาหารเลี้ยงเชื้อไม่สามารถเพิ่มระดับการสร้าง GGOH ได้ ส่งผลให้ริคอมบิแนนท์ *E. coli* มีค่าชีวนิเวศสูงขึ้น นอกเหนือไปจากนี้ยังพบว่า *E. coli* BL21(DE3)RIPL ที่ได้รับพลาสมิด pETDuet/GGPPS/PDPase มีอัตราการเจริญเติบโตต่ำที่สุดเมื่อเทียบกับโคลนที่ได้รับการถ่ายโอนยีน GGPPS หรือ PDPase เพียงอย่างเดียว

Anuwatchakij Klamrak. 2010. **Coexpression of Genes Involved in Geranylgeraniol Biosynthetic Pathway in *Escherichia coli*.** Master of Science Thesis in Pharmaceutical Chemistry and Natural Products, Graduate School, Khon Kaen University.

Thesis Advisors: Dr. Natsajee Nualkaew,

Dr. Sutipa Tanapongpipat,

Assoc. Prof. Dr. Wanchai De-Eknamkul

ABSTRACT

203320

Geranylgeraniol (GGOH) is a potent apoptotic inducer in various cancer cells line. It is the only intermediate of biosynthetic pathway of plaunotin, an anti ulcer drug from *Croton stellatopilosus*. Previous work on the cloning of prenyl diphosphate phosphatase (PDPase) showed low yield of terpenoid mixture produced by the host cells. To overcome this problem, the pathway engineering was used to reconstruct the biosynthetic pathway in *E. coli* BL21(DE3)RIPL, in order to increase GGOH accumulation. In doing this, recombinant plasmid pETDuet-1 harboring two genes encoding two enzymes involved in GGOH biosynthetic pathway was constructed. The first enzyme is geranylgeranyl diphosphate synthase (GGPPS) which catalyses formation of GGPP and the second one is prenyl diphosphate phosphatase (PDPase) which catalyses dephosphorylation of GGPP to form GGOH. Here we describe construction of the vector for coexpression of the 2 genes (*GGPPS* and *PDPase*), follow by detection of GGOH as its phenotype of the coexpression in comparison with single gene expression in *E. coli*. SDS-PAGE analysis revealed that *E. coli* cells harboring the plasmid pETDuet/*GGPPS/PDPase* and pETDuet/*GGPPS* could express *GGPPS* as a protein product with of about 33 kDa, whereas the expression of *PDPase* gene was not detected. HPLC analysis revealed that GGOH was accumulated in *E. coli* cells harboring coexpression vector and single gene *GGPPS*, but not *PDPase* alone. Feeding medium with 2% glycerol does not enhance GGOH production. On the other hand, biomass of recombinant *E. coli* was significantly increased. In addition, the growth rate of *E. coli* cells bearing the plasmid pETDuet/*GGPPS/PDPase* was significantly decreased as compared to that parental strain.

งานวิทยานิพนธ์นี้ขอขอบคุณให้แด่บิດามารดาและคณาจารย์ทุกท่าน

กิตติกรรมประกาศ

ขอรับขอบพระคุณ ดร. นาฏศรี นวลแก้ว อาจารย์ที่ปรึกษา ที่ช่วยประสิทธิ์ประสาทวิชาความรู้ และปลูกฝังแนวคิดที่ดีในการทำวิจัย และช่วยอบรมให้ข้าพเจ้ามีความรับผิดชอบ ตลอดจนให้กำลังใจมาโดยตลอดจนกระทั่งวิทยานิพนธ์นี้สำเร็จลุล่วงไปได้ด้วยดี

ขอรับขอบพระคุณ ดร. สุทธิพา ชนพงศ์พิพัฒน์ อาจารย์ที่ปรึกษาร่วม ที่ให้โอกาสข้าพเจ้าได้ทำวิจัยส่วนหนึ่งของวิทยานิพนธ์ที่ห้องปฏิบัติการเทคโนโลยีเอนไซม์ศูนย์พันธุ์วิศวกรรมและเทคโนโลยีชีวภาพแห่งชาติ (BIOTEC) ตลอดจนปลูกฝังความรู้ และเคยให้กำลังใจจนกระทั่งวิทยานิพนธ์นี้สำเร็จลุล่วงด้วยดี

ขอรับขอบพระคุณ รศ. ดร. วันชัย ดีเอกนามกุล อาจารย์ที่ปรึกษาร่วมสำหรับคำแนะนำที่เป็นประโยชน์ในการทำวิจัยและการทำวิทยานิพนธ์

ขอรับขอบพระคุณ พศ.ดร. สมศักดิ์ นวลแก้ว คณะเภสัชศาสตร์ มหาวิทยาลัยนราธิวาสราชนครินทร์ ที่กรุณาเอื้อเฟื้อคอลัมน์ของเครื่อง HPLC เพื่อใช้ในการวิจัยครั้งนี้

ขอขอบพระคุณคณะแพทยศาสตร์ มหาวิทยาลัยขอนแก่น ที่กรุณาเอื้อเฟื้อเครื่องผลิตคลื่นความถี่สูง (Sonicator) เพื่อใช้ในการวิจัยครั้งนี้

ขอรับขอบพระคุณ คุณพีระดา พรมดอนกอย และเจ้าหน้าที่ห้องปฏิบัติการเทคโนโลยีเอนไซม์ที่เสียสละเวลาอันมีค่าและให้ความรู้คำแนะนำเกี่ยวกับเทคนิคทางค้านอนพูชีวิทยา ตลอดจนให้กำลังใจจนกระทั่งการทำวิจัยสำเร็จลุล่วงไปได้ด้วยดี

ขอขอบคุณเจ้าหน้าที่ศูนย์บริการทางวิชาการและวิจัย คณะเภสัชศาสตร์ มหาวิทยาลัยขอนแก่น ที่ช่วยอำนวยความสะดวกในการใช้อุปกรณ์และเครื่องมือต่างๆ

ขอรับขอบพระคุณสำนักงานกองทุนสนับสนุนการวิจัย (สกว.) ทุนวิจัยมหาบัณฑิตสาขาวิทยาศาสตร์และเทคโนโลยี (สัญญาเลขที่ MRG-WII505S037) และทุนสนับสนุนการทำวิทยานิพนธ์ระดับบัณฑิตศึกษา คณะเภสัชศาสตร์ มหาวิทยาลัยขอนแก่น

ขอรับขอบพระคุณ คุณพ่อสมบุญ และคุณแม่บุญญุ่ลูก กล่าวรักษา รวมทั้งสมาชิกทุกคนในครอบครัว ที่ให้กำลังใจและสนับสนุนค่าเล่าเรียน ท้ายสุดนี้ขอรับขอบพระคุณทุกๆท่าน ทั้งที่ได้กล่าวนามและไม่ได้กล่าวนามอีกครั้งหนึ่งไว้ ณ ที่นี่ด้วย

สารบัญ

	หน้า
บทคัดย่อภาษาไทย	ก
บทคัดย่อภาษาอังกฤษ	ข
คำอุทิศ	ค
กิตติกรรมประกาศ	ง
สารบัญตาราง	ช
สารบัญรูป	ซ
รายการสัญลักษณ์และคำย่อ	ฉ
บทที่ 1 บทนำ	1
บทที่ 2 วรรณกรรมและงานวิจัยที่เกี่ยวข้อง	4
1. วิถีชีวสังเคราะห์ของสารประกอบเทอร์พิน	4
2. วิถีชีวสังเคราะห์ของสารประกอบเทอร์พินใน <i>Escherichia coli</i>	5
3. แนวทางการทำวิศวกรรมเมทานอดิคเพื่อเพิ่มระดับการสร้างสารเทอร์พินอยค์	6
4. ปัจจัยที่มีผลต่อการแสดงออกของยีนในระบบ <i>E. coli</i>	21
5. การเพิ่มระดับการสร้างสารสารทุติยภูมิโดยการใช้กลีเซอรอล (glycerol) เป็นแหล่งของคาร์บอน	25
บทที่ 3 วิธีการดำเนินการวิจัย	26
1. สิ่งมีชีวิตที่ใช้ในการวิจัย	26
2. สารเคมีและวัสดุอุปกรณ์	26
3. โปรแกรมชีวสารสนเทศ (Bioinformatics)	29
4. ขั้นตอนและวิธีการทดลอง	29
บทที่ 4 ผลการทดลอง	41
1. การสกัด Total RNA จากใบเปลือกน้อย	41
2. การสร้างพลาสมิด pETDuet-1 vector ที่มีการแทรกสอดของยีน <i>GGPPS</i>	42
3. การสร้างพลาสมิด pETDuet-1 vector ที่มีการแทรกสอดของยีน <i>PDPase</i>	47
4. การสร้างพลาสมิด pETDuet-1 vector ที่มีการแทรกสอดของยีน <i>GGPPS</i> และ <i>PDPase</i>	51

สารบัญ (ต่อ)

	หน้า
5. การแสดงออกของยีนใน <i>E. coli</i> BL21(DE3)RIPL	52
6. การวิเคราะห์ปริมาณ GGOH จากริคอมบิแนนท์ <i>E. coli</i> ที่ได้รับการถ่ายโอนยีนที่เกี่ยวข้องในวิคีชีวสังเคราะห์ของ GGOH	54
7. ผลของการเติมกลีเซอโรลกลงในเซลล์เพาะเลี้ยงของริคอมบิแนนท์ <i>E. coli</i>	56
8. การศึกษาอัตราการเจริญเติบโตของริคอมบิแนนท์ <i>E. coli</i>	57
9. การเจริญเติบโตของริคอมบิแนนท์ <i>E. coli</i> ในอาหารเหลวที่มีการเติมกลีเซอโรล	58
10. ผลการเปลี่ยนแปลงค่าชีวนิเวศของริคอมบิแนนท์ <i>E. coli</i> ในอาหารที่มีกลีเซอโรล	59
บทที่ 5 วิจารณ์ผลการทดลอง	60
1. การสร้างพลาสมิด pETDuet-1 ที่มีการแทรกสอดของยีนที่เกี่ยวข้องในวิคีชีวสังเคราะห์ของ GGOH	60
2. การแสดงออกของยีน GGPPS และ PDPase ใน <i>E. coli</i> BL21(DE3)RIPL	61
3. การเกิดโครงสร้างทางทุติยภูมิของยีน PDPase	63
4. การผลิต GGOH ในริคอมบิแนนท์ <i>E. coli</i>	66
5. ผลของกลีเซอโรลต่อการสร้าง GGOH ในริคอมบิแนนท์ <i>E. coli</i>	67
6. การศึกษาอัตราการเจริญเติบโตของริคอมบิแนนท์ <i>E. coli</i> ที่ได้รับการถ่ายโอนยีนที่เกี่ยวข้องในวิคีชีวสังเคราะห์ของ GGOH	68
บทที่ 6 สรุปผลการทดลอง	69
เอกสารอ้างอิง	71
ภาคผนวก	79
ภาคผนวก ก รายละเอียดเพิ่มเติมของการศึกษา	80
ภาคผนวก ข การเผยแพร่ผลงานวิทยานิพนธ์	85

สารบัญตาราง

หน้า

ตารางที่ 2.1	การทำวิศวกรรมเมทานอลิกของแครอทีนอยด์ใน <i>E. coli</i> ผ่านการเพิ่มการสร้าง GGPP	15
ตารางที่ 2.2	การทำวิศวกรรมเมทานอลิกของแครอทีนอยด์ในเยลต์ ผ่านการเพิ่มการสร้าง GGPP	16
ตารางที่ 3.1	แบบที่เรียกใช้ในการวิจัย	26
ตารางที่ 5.1	ผลการวิเคราะห์การใช้โคค่อนของยีน <i>PDPase</i> ด้วยโปรแกรม ACUA	62
ตารางที่ 5.2	ผลการวิเคราะห์การใช้โคค่อนของยีน <i>GGPPS</i> ด้วยโปรแกรม ACUA	63

สารบัญรูป

	หน้า
รูปที่ 1.1 วิธีชีวสังเคราะห์ของ GGOH ใน <i>C. stellatopilosus</i> Ohba	2
รูปที่ 2.1 แสดงวิธีชีวสังเคราะห์สารในกลุ่มเทอร์ปีนแบบ MVA และ DXP	5
รูปที่ 2.2 แสดงปริมาณ GGPP ที่ตรวจวัดได้จากการคิดบัญชี <i>E. coli</i> ที่ผ่านการทำวิศวกรรมเมtabolik โดยเพิ่มการแสดงออกของยีน GGPPS	6
รูปที่ 2.3 การทำวิศวกรรมเมtabolik เพื่อเพิ่มระดับการสร้าง GGPP ใน <i>E. coli</i>	7
รูปที่ 2.4 การทำโคทранส์ฟอร์เมชันของยีน 4 ชนิดใน <i>E. coli</i>	8
รูปที่ 2.5 การแสดงออกร่วมของยีนแบบ Single vector, single RNA transcript ใน <i>E. coli</i>	9
รูปที่ 2.6 การแสดงออกร่วมของยีนแบบ Single vector, multi RNA transcript ใน <i>E. coli</i>	10
รูปที่ 2.7 การทำวิศวกรรมเมtabolik ของพรีนิลแอลกออลด์ใน <i>S. cerevisiae</i>	11
รูปที่ 2.8 แสดงแนวทางการทำวิศวกรรมเมtabolik ของ GGOH ใน <i>S. cerevisiae</i>	11
รูปที่ 2.9 การผลิต GGOH ใน <i>E. coli</i> โดยใช้การแสดงออกร่วมของยีน <i>idi</i> และ GGPPS (<i>IspAm*</i>) และเอนไซม์ Alkaline phosphatase	12
รูปที่ 2.10 แนวทางการผลิตพรีนิลแอลกออลด์โดยใช้ตัวบั้นยั้งเอนไซม์ ent-kaurene synthase, phytoene synthase และ squalene synthase	13
รูปที่ 2.11 แสดงแนวทางการทำวิศวกรรมเมtabolik ของแคโรทินอยด์ในจุลินทรีย์	14
รูปที่ 2.12 แสดงการทำวิศวกรรมเมtabolik ของ taxadiene ใน <i>E. coli</i> โดยใช้ การแสดงออกร่วมของยีน <i>dxs</i> (1), <i>idi</i> (2), GGPPS (3) และ TDS (4)	17
รูปที่ 2.13 แสดงการทำวิศวกรรมเมtabolik ของ taxadiene ใน <i>S. cerevisiae</i> โดยอาศัยการแสดงออกร่วมของยีน <i>tHMG1</i> (HMG-CoA reductase), GGPPS และ TDS	17
รูปที่ 2.14 แสดงการทำวิศวกรรมเมtabolik ของ artemisinic acid ใน <i>S. cerevisiae</i>	19
รูปที่ 2.15 แสดงการทำวิศวกรรมเมtabolik ของ amorphadiene ใน <i>E. coli</i>	20

สารบัญรูป (ต่อ)

	หน้า
รูปที่ 2.16 แสดงการทำวิเคราะห์ทางอลิกของ tocotrienol ในรีคอมบิแนนท์ <i>E. coli</i> โดยใช้การแสดงออกของยีน GGPPS และยีนที่เกี่ยวข้องในวิถีชีวสังเคราะห์ของ Tocotrienol	21
รูปที่ 2.17 แสดงแผนที่ของพลาสมิด pRARE ที่มีการแสดงออกของ rare codon	22
รูปที่ 2.18 แสดงโครงสร้างพื้นฐานของยีน monoterpenesynthase และ diterpene synthase	24
รูปที่ 2.19 แสดงวิถีการถ่ายทอดของ <i>E. coli</i>	25
รูปที่ 4.1 แสดงการตรวจสอบคุณภาพของ Total RNA ที่ได้จากเปลือกหอยด้วยเทคนิคฟอร์มอลดีไซด์เจลอะลีเด็กโตร โฟร์ซิต	41
รูปที่ 4.2 แสดงการตรวจสอบແเบปคีอีนของยีน GGPPS ด้วยเทคนิคเจลอะลีเด็กโตร โฟร์ซิต	42
รูปที่ 4.3 แสดงແບ DNA ที่เกิดจากการตัดด้วยendon ไซน์ตัดจำเพาะ HindIII	43
รูปที่ 4.4 แสดงแผนที่ของพลาสมิด pTZ57R/T/GGPPS	44
รูปที่ 4.5 แสดงແບ DNA ที่ได้จากการทำ PCR เพื่อเพิ่มปริมาณ truncate ของยีน GGPPS	45
รูปที่ 4.6 แสดงແບ DNA ที่เกิดจากการตัดด้วยendon ไซน์ BamHI และ SalI	46
รูปที่ 4.7 แสดงแผนที่ของพลาสมิด pETDuet/GGPPS	46
รูปที่ 4.8 แสดงແບ DNA ของยีน truncate PDPase ที่ได้จากการทำ PCR	47
รูปที่ 4.9 แสดงແບ DNA ที่เกิดจากการตัดด้วยendon ไซน์ NdeI และ EcoRV	48
รูปที่ 4.10 แสดงແບ DNA ที่เกิดจากการตัดด้วยendon ไซน์ NdeI และ EcoRV	49
รูปที่ 4.11 แสดงແບ DNA ที่เกิดจากการตัดด้วยendon ไซน์ NdeI และ EcoRV	50
รูปที่ 4.12 แสดงແບ DNA ที่เกิดจากการตัดด้วยendon ไซน์ NdeI และ EcoRV	50
รูปที่ 4.13 แสดงແບ DNA ที่เกิดจากการตัดด้วยendon ไซน์ตัดจำเพาะ BamHI และ EcoRV	51
รูปที่ 4.14 แสดงແບ DNA ที่พลาสมิด pETDuet/GGPPS/PDPase	52
รูปที่ 4.15 แสดงผลการทำ SDS-PAGE เพื่อตรวจสอบการแสดงออกของยีน GGPPS	53

สารบัญรูป (ต่อ)

	หน้า
รูปที่ 4.16 แสดงผลการทำ SDS-PAGE เพื่อตรวจสอบการแสดงออกของยีน <i>GGPPS</i> และ <i>PDPase</i>	54
รูปที่ 4.17 แสดง HPLC chromatogram ของริคอมบิแนนท์ที่ได้รับการถ่ายโอนยีนในวิถีชีวสังเคราะห์ของ GGOH	55
รูปที่ 4.18 กราฟแท่งแสดงการเปรียบเทียบปริมาณ GGOH จาก <i>E. coli</i> BL21(DE3)RIP1 ที่ได้รับการถ่ายโอนยีนที่เกี่ยวข้องในวิถีชีวสังเคราะห์ของ GGOH	56
รูปที่ 4.19 กราฟแท่งแสดงการเปรียบเทียบปริมาณ GGOH จาก <i>E. coli</i> BL21(DE3)RIP1 ที่ได้รับการถ่ายโอนยีนที่เกี่ยวข้องในวิถีชีวสังเคราะห์ของ GGOH ที่ผ่านการทำ feeding ของกลีเซอรอล	56
รูปที่ 4.20 อัตราการเจริญเติบโตของริคอมบิแนนท์ <i>E. coli</i> ที่ได้รับการถ่ายโอนยีนที่เกี่ยวข้องในวิถีชีวสังเคราะห์ของ GGOH	57
รูปที่ 4.21 อัตราการเจริญเติบโตของริคอมบิแนนท์ <i>E. coli</i> ในอาหารเหลว LB ที่มีกลีเซอรอล	58
รูปที่ 4.22 แผนภูมิเปรียบเทียบค่าชีวนิเวศของริคอมบิแนนท์ <i>E. coli</i> ในอาหารเหลวสูตรต่างๆ	59
รูปที่ 5.1 แสดงลำดับนิวคลีโอไทด์ที่ใช้ทำนายการเกิดโครงสร้างทุติยภูมิของ mRNA	64
รูปที่ 5.2 แสดงโครงสร้างทุติยภูมิของยีน <i>PDPase</i> ที่เกิดจากการจับของ ribosome binding site กับลำดับนิวคลีโอไทด์ของยีน <i>PDPase</i> ในตำแหน่ง 49 ถึง 53	64
รูปที่ 5.3 แสดงลำดับนิวคลีโอไทด์ของยีนที่ใช้ทำนายการเกิดโครงสร้างทุติยภูมิของ mRNA ที่ผ่านการทำ mutation	65
รูปที่ 5.4 แสดงโครงสร้างทุติยภูมิของยีน <i>PDPase</i> ที่ผ่านการทำ site directed mutagenesis	68
รูปที่ 5.5 แผนภูมิแสดงสมมติฐานของวิถีการสลายกลีเซอรอลในริคอมบิแนนท์ <i>E. coli</i> ที่ได้รับการถ่ายโอนยีนที่เกี่ยวข้องในวิถีชีวสังเคราะห์ของ GGOH	68

รายการสัญลักษณ์และคำย่อ

%	ร้อยละ
% v/v	ร้อยละปริมาตรต่อปริมาตร
% w/v	ร้อยละน้ำหนักต่อปริมาตร
°C	องศาเซลเซียส
ADS	Amorphadiene synthase
bp	คู่เบส
<i>CrtB</i>	Phytoene synthase
<i>CrtE</i>	Geranylgeranyl diphosphate synthase
<i>CrtI</i>	Phytoene desaturase
<i>CrtW</i>	β -Carotene ketolases
<i>CrtZ</i>	Carotene hydroxylase
DMAPP	Dimethylallyl pyrophosphate
DNA	ดีเอ็นเอ
DPP1	Diacylglycerol pyrophosphate phosphatase
DXP	Deoxyxylulose-5-phosphate pathway
DXS	Deoxyxylulose-5-phosphate synthase
FOH	Farnesol
FPP	Farnesyl diphosphate
G3-P	Glyceraldehyde 3-phosphate
GGOH	Geranylgeraniol
GPP	Geranyl diphosphate
GGPP	Geranylgeranyl diphosphate
GPPS	Geranyl diphosphate synthase
g	กรัม
g/L	กรัมตอลิตร
GGPPS	Geranylgeranyl diphosphate synthase

รายการสัญลักษณ์และคำย่อ (ต่อ)

HMGR	3-hydroxy-3-methyl-glutaryl-CoA reductase
IDI	Isopentenyl diphosphate isomerase
IPP	Isopentenyl diphosphate
<i>IspA</i>	Farnesyl diphosphate synthase
<i>IspB</i>	Octaprenyl diphosphate synthase
<i>IspC</i>	Deoxyxylulose 5-phosphate reductoisomerase
<i>IspD</i>	4-diphosphocytidyl 2C-methyl-D-erythritol synthase
<i>IspE</i>	4-diphosphocytidyl 2C-methyl-derythritol kinase
<i>IspF</i>	2C-methyl-D-erythritol 2, 4-cyclodiphosphate synthase
<i>IspG</i>	4-Hydroxy-3-methyl-but-2-enyl pyrophosphate synthase
<i>IspH</i>	4-Hydroxy-3-methyl-but-2-enyl pyrophosphate synthase reductase
kDa	กิโลดาตัน
Kkal/mol	กิโลแคลอรีต่้อมล
MCS	Multiple cloning site
L	ลิตร
mg	มิลลิกรัม
mL	มิลลิลิตร
mM	มิลลิโนลาร์
mg/mL	มิลลิกรัมต่อมิลลิลิตร
ml/min	มิลลิลิตรต่อนาที
mRNA	เอ็นอาร์เอ็นเอ
tRNA	Transfer RNA
MVA	Mevalonate pathway
nm	นาโนเมตร
OD	Optical density
PCR	Polymerase chain reaction
PDPase	Prenyl diphosphate phosphatase

รายการสัญลักษณ์และคำย่อ (ต่อ)

RNA	อาร์เอ็นเอ
rpm	รอบต่อนาที
rRNA	ไร โบ โซนอล อาร์เอ็นเอ
RT-PCR	Reverse transcription polymerase chain reaction
SDS-PAGE	Sodium dodecyl sulfate polyacrylamide gel electrophoresis
SQS	Squalene synthase
TDS	Taxadiene synthase
TIR	Transcription initiation region
Tm	Melting temperature
U/ μ l	ยูนิตต่อ ไมโครลิตร
μ g/L	ไมโครกรัมต่อลิตร
μ g/mL	ไมโครกรัมต่อมิลลิลิตร
μ l	ไมโครลิตร
μ M	ไมโครโมลาร์